

计算物理第六次作业

梁旭民*

Cuiying Hornors College, Lanzhou University

liangxm15@lzu.edu.cn

Abstract

本次作业学习了Box-Muller生成Gauss分布的方法及Gibbs采样法生成Gauss分布随机数的方法，并应用Box-Muller算法成功生成了一维Gauss分布的随机数，应用Gibbs采样法生成二维Gauss分布的随机数。

I. Box-Muller算法生成Gauss分布随机数

A. 问题描述

通过使用Box-Muller算法，生成一组1维Gauss分布的随机数。

B. Box-Muller算法简介

Box-Muller变换[2]是一种由George Edward Pelham Box和Mervin Edgar Muller提出的伪随机数抽样方法，用于生成一对独立的，标准的，正态分布的(零期望，单位方差)随机数，给定一个源均匀分布的随机数。

1. 基本形式

假设 U_1 和 U_2 是从单位区间 $(0,1)$ 上的均匀分布中选择的独立样本。令

$$Z_0 = R \cos(\Theta) = \sqrt{-2 \ln U_1} \cos(2\pi U_2)$$

$$Z_1 = R \sin(\Theta) = \sqrt{-2 \ln U_1} \sin(2\pi U_2)$$

则 Z_0 和 Z_1 是具有标准正态分布的独立随机变量。

推导基于二维笛卡尔系统的性质[3]，其中 X 和 Y 坐标由两个独立且正态分布的随机变量描述， R_2 和 Θ （如上所示）的随机变量在相应的极坐标也是独立的，可以表示为

$$R^2 = -2 \cdot \ln U_1$$

$$\Theta = 2\pi U_2$$

由于 R^2 是标准二元正态变量 (X, Y) 的范数的平方，因此它具有两个自由度的卡方分布。在两个自由度的特殊情况下，卡方分布与指数分布

*指导老师：齐新老师

重合，上述 R^2 的等式是生成所需指数变量的简单方法。

2. 极坐标形式

极地形式最初由J. Bell提出[4]，然后由R. Knop修改[5]。虽然已经描述了几种不同版本的极坐标方法，但R. Knop的版本将在这里描述，因为它是最广泛使用的，部分原因是它包含在Numerical Recipes中。

给定 u 和 v ，在闭区间 $[-1, +1]$ 中独立且均匀分布，设 $s = R^2 = u^2 + v^2$ 。(显然有 $R = \sqrt{s}$) 如果 $s = 0$ 或 $s \geq 1$ ，则忽略 u 和 v ，并尝试另一个对 (u, v) 。由于 u 和 v 是均匀分布的，并且由于只允许单位圆内的点，因此 s 的值也将在开区间 $(0, 1)$ 中均匀分布。后者可以通过计算区间 $(0, 1)$ 中 s 的累积分布函数来看出。这是一个半径为 \sqrt{s} 圆形区域，除以 π 。由此我们发现概率密度函数在间隔 $(0, 1)$ 上具有常数值1。与此同时，角度 θ 除以 2π 在区间 $[0, 1]$ 中均匀分布且与 s 无关。我们现在确定 s 的值

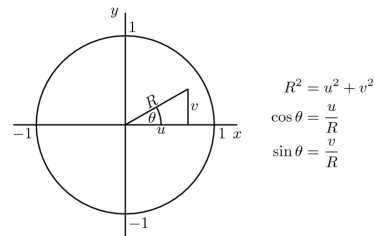


Figure 1: 运用极坐标的Box-Muller Transform

与 U_1 和 U_2 的值 $\frac{\theta}{2\pi}$ 与 U_2 的基本形式相同。见Figure 1, $\cos \theta = \cos(2\pi U_2)$ 和 $\sin \theta = \sin(2\pi U_2)$ 在基本形式中的值可以用比例 $\cos \theta = \frac{u}{R} = \frac{u}{\sqrt{s}}$ 和 $\sin \theta = \frac{v}{R} = \frac{v}{\sqrt{s}}$ 分别代替。其优点是可

以避免直接计算三角函数。当三角函数计算成本比单个分割代替每个函数更昂贵时，这会很有帮助。

正如基本形式产生两个标准正常偏差一样，这种替代计算也是如此。

$$\begin{aligned} z_0 &= \sqrt{-2 \ln U_1} \cos(2\pi U_2) = \sqrt{-2 \ln s} \left(\frac{u}{\sqrt{s}} \right) \\ &= u \cdot \sqrt{\frac{-2 \ln s}{s}} \\ z_1 &= \sqrt{-2 \ln U_1} \sin(2\pi U_2) = \sqrt{-2 \ln s} \left(\frac{v}{\sqrt{s}} \right) \\ &= v \cdot \sqrt{\frac{-2 \ln s}{s}} \end{aligned}$$

3. 标准形式和极坐标形式对比

极坐标法与基本方法的区别在于它是一种拒绝采样。它丢弃一些生成的随机数，但可以比基本方法更快，因为它计算起来更简单（假设随机数发生器相对较快）并且更具数值稳健性[6]。它避免了使用三角函数，这在一些计算环境中可能是昂贵的。它丢弃生成的总输入均匀分布随机数对的 $1 - \frac{\pi}{4} \approx 21.46\%$ ，即每生成一个高斯随机数对丢弃 $\frac{4}{\pi} - 1 = 27.32\%$ 均匀分布的随机数对，需要 $\frac{4}{\pi} \approx 1.2732$ 输入每个输出随机数的随机数。

基本形式对于每个正态变量需要两次乘法， $\frac{1}{2}$ 对数， $\frac{1}{2}$ 平方根和一个三角函数[7]。在某些处理器上，可以使用单个指令并行计算同一个参数的余弦和正弦。值得注意的是，对于基于Intel的机器，可以使用fsincos汇编程序指令或expi指令（通常可从C获得，作为内部函数）来计算复杂度

$$e^{iz} = e^{iz} = \cos(z) + i \sin(z)$$

并分开实部和虚部。

注：要明确计算复极点形式，请在通用形式中使用以下替换，令

$$\begin{aligned} r &= \sqrt{-2 \ln(u_1)} \\ z &= 2\pi u_2 \end{aligned}$$

则有

$$\begin{aligned} r e^{iz} &= \sqrt{-2 \ln(u_1)} e^{i2\pi u_2} \\ &= \sqrt{-2 \ln(u_1)} [\cos(2\pi u_2) + i \sin(2\pi u_2)] \end{aligned}$$

极坐标形式需要 $\frac{3}{2}$ 乘法， $\frac{1}{2}$ 对数， $\frac{1}{2}$ 平方根和每个正常变量的 $\frac{1}{2}$ 除法。其效果是用一个单独的

分割和一个条件循环代替一个乘法和一个三角函数。

应该指出的是，fsincos在现代CPU体系结构中变得非常快，这样拒绝采样方法的速度“收敛”就不再是事实。同时，s的浮点除法和条件循环在拒绝采样算法中仍然是一个重要的开销，这在基本形式中是不存在的。

4. 尾巴截断

当一台计算机被用来产生一个统一的随机变量时，它将不可避免地存在一些不准确的地方，因为对于如何接近0可以有一个较低的界限。如果该发生器使用每个输出值32位，则可以得到最小的非零数被生成的是 2^{-32} 。当 U_1 和 U_2 等于这个Box-Muller变换产生一个等于的正态随机变量 $\sqrt{-2 \ln(2^{-32})} \cos(2\pi 2^{-32}) \approx 6.66$ 这意味着该算法不会产生超过均值6.66个标准差的随机变量。这相当于一个比例 2.74×10^{-11} 由于截断而丢失。

C. 计算结果

未经过及经过Box-Muller生成的分布结果均见Figure 2。

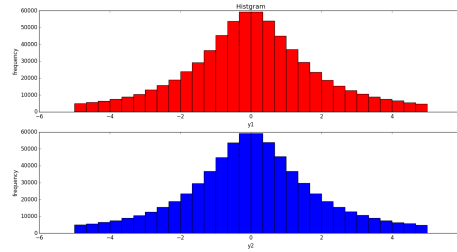


Figure 2: Box-Muller算法生成的一维Gauss分布

II. Gibbs采样法生成Gauss分布随机数

A. 问题描述

使用Gibbs采样，生成一组2维Gauss分布的随机数

B. Gibbs采样法简介

在统计学中，当直接采样困难时，Gibbs采样或Gibbs采样器是Markov chain Monte Carlo(MCMC)算法，用于获得从特定多变量概率分布近似的观察序列。该序列

可用于近似联合分布（例如，生成分布的直方图）；以近似其中一个变量的边际分布或变量的一些子集（例如未知参数或潜在变量）；或计算积分（例如其中一个变量的预期值）。通常，一些变量对应于其值已知的观测值，因此不需要进行采样。

Gibbs抽样通常被用作统计推断的手段，特别是Bayesian推断。它是一种随机算法（即利用随机数的算法），是用于统计推断的确定性算法（如期望最大化算法（EM））的替代方法。

与其他MCMC算法一样，Gibbs抽样生成样本的Markov链，每个样本都与附近的样本相关。因此，如果需要独立样本，必须小心。一般来说，从链条开始的样本（老化期）可能不能准确表示所需的分布，通常会被丢弃。然而，已经表明，使用更长的链而不是更长的链（例如，使用 n 的稀疏因子的链是初始考虑的链的 n 倍）导致更好的真实后验估计。因此，只有在限制时间或计算机内存时才应用间拔[8]。

1. 发展简介

Gibbs抽样是以物理学家乔西亚威拉德Gibbs的名字命名的，他提到了采样算法和统计物理学之间的类比。该算法在1984年由Stuart和Donald Geman兄弟描述，在Gibbs死后约八十年[9]。

在其基本版本中，Gibbs抽样是Metropolis-Hastings算法的特例。然而，在其扩展版本中，它可以被认为是一个通用框架，通过对每个变量（或在某些情况下，每组变量）进行抽样，从一大组变量中抽样，并可以将Metropolis-Hastings算法（或更复杂的方法，如切片采样，自适应拒绝采样和自适应拒绝Metropolis算法[10][11][12]）来实现一个或多个采样步骤。

Gibbs抽样适用于联合分布未明确知道或难以直接抽样的情况，但每个变量的条件分布是已知的并且很容易（或至少更容易）抽样。Gibbs抽样算法依次从每个变量的分布生成一个实例，取决于其他变量的当前值。可以证明，样本序列构成一个Markov链，而该Markov链的平稳分布恰好是所寻求的联合分布。[6]

Gibbs抽样特别适用于采样Bayesian网络的后验分布，因为Bayesian网络通常被指定为一组条件分布。

2. 算法简介

Gibbs抽样在其基本化身中是Metropolis-Hastings算法的特例。吉布斯采样适用于条件分布比边缘分布更容易采样的多变量分布。假设我们需要从联合分布 $p(x_1, \dots, x_n)$ 中抽取 $\mathbf{X} = (x_1, \dots, x_n)$ 的 k 个样本。记第 i 个样本为 $\mathbf{X}^{(i)} = (x_1^{(i)}, \dots, x_n^{(i)})$ 。吉布斯采样的过程则为：

- 1 确定初始值 $\mathbf{X}^{(1)}$ 。
- 2 假设已得到样本 $\mathbf{X}^{(i)}$ ，记下一个样本为 $\mathbf{X}^{(i+1)} = (x_1^{(i+1)}, x_2^{(i+1)}, \dots, x_n^{(i+1)})$ 。于是可将其看作一个向量，对其中某一分量 $x_j^{(i+1)}$ ，可通过在其他分量已知的条件下该分量的概率分布来抽取该分量。对于此条件概率，我们使用样本 $\mathbf{X}^{(i+1)}$ 中已得到的分量 $x_1^{(i+1)}$ 到 $x_{j-1}^{(i+1)}$ 以及上一样本 $\mathbf{X}^{(i)}$ 中的分量 $x_{j+1}^{(i)}$ ，即

$$p(x_j^{(i+1)} | x_1^{(i+1)}, \dots, x_{j-1}^{(i+1)}, x_{j+1}^{(i)}, \dots, x_n^{(i)})$$

- 3 重复上述过程 k 次。

在采样完成后，我们可以用这些样本来近似所有变量的联合分布。如果仅考虑其中部分变量，则可以得到这些变量的边缘分布。此外，我们还可以对所有样本求某一变量的平均值来估计该变量的期望。

C. 计算结果

利用Gibbs采样法产生两组不同的 σ 和 μ 得到两个Gauss分布，见Figure 3。生成的二

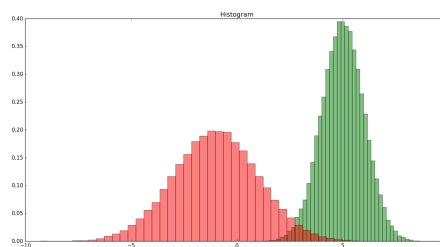


Figure 3: Gauss分布

维Gauss分布见Figure 4。

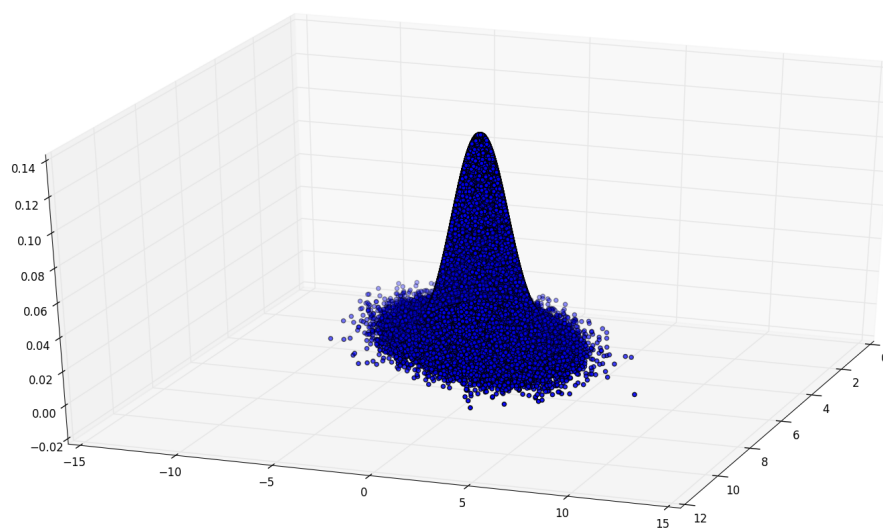


Figure 4: 利用 *Gibbs* 采样法产生的二维 *Gauss* 分布

Appendices

A. Box-Muller生成一维Gauss分布

Here is the program by Box-Muller Method to generate 1 dimensional Gauss distribution in Python programming language.

Input Python source:

```

1  '''Box-Muller method
2  to generate gaussian values from the numbers distributed uniformly.'''
3  import numpy as np
4  import matplotlib.pyplot as plt
5  #generate from uniform dist
6  np.random.seed()
7  N = 1000000
8  z1 = np.random.uniform(0, 1.0 ,N)
9  z2 = np.random.uniform(0, 1.0 ,N)
10 z1 = 2*z1 - 1
11 z2 = 2*z2 - 1
12 #discard if z1**2 + z2**2 <= 1
13 c = z1**2 + z2**2
14 index = np.where(c<=1)
15 z1 = z1[index]
16 z2 = z2[index]
17 r = c[index]
18 #transformation
19 y1 = z1*((-2*np.log(r**2))/r**2)**(0.5)
20 y2 = z2*((-2*np.log(r**2))/r**2)**(0.5)
21 #discard outlier
22 y1 = y1[y1 <= 5]
23 y1 = y1[y1 >= -5]
24 y2 = y2[y2 <= 5]
25 y2 = y2[y2 >= -5]
26 #plot
27 fig = plt.figure()
28 ax = fig.add_subplot(2,1,1)
29 ax.hist(y1,bins=30,color='red')
30 plt.title("Histogram")
31 plt.xlabel("y1")
32 plt.ylabel("frequency")
33 ax2 = fig.add_subplot(2,1,2)
34 ax2.hist(y2,bins=30,color='blue')
35 plt.xlabel("y2")
36 plt.ylabel("frequency")
37 plt.show()

```

B. Gibbs采样法生成二维Gauss分布

Here is the program by Gibbs sampling Method to generate 2 dimensional Gauss distribution in Python programming language.

Input Python source:

```

1  import random
2  import math
3  import matplotlib.pyplot as plt
4  from mpl_toolkits.mplot3d import Axes3D
5  from scipy.stats import multivariate_normal
6
7  #Define Functions of Gibbs Sampling Method
8  samplesource = multivariate_normal(mean=[5,-1], cov=[[1,0.5],[0.5,2]])
9  def p_ygivenx(x,m1,m2,s1,s2):
10     return (random.normalvariate(m2+rho*s2/s1*(x-m1),math.sqrt(1-rho**2)*s2))
11  def p_xgiveny(y,m1,m2,s1,s2):
12     return (random.normalvariate(m1+rho*s1/s2*(y-m2),math.sqrt(1-rho**2)*s1))
13
14  #Define the number of Particle
15  N=5000;K=20
16  x_res=[];y_res=[];z_res=[]
17
18  #Define Parameters sigma and mu of X,Y 1D Gauss Distribution
19  m1=5;m2=-1
20  s1=1;s2=2
21  rho=0.5
22  y=m2
23
24  #Circulation
25  for i in range(N):
26     for j in range(K):
27         x=p_xgiveny(y,m1,m2,s1,s2)
28         y=p_ygivenx(x,m1,m2,s1,s2)
29         z=samplesource.pdf([x,y])
30         x_res.append(x)
31         y_res.append(y)
32         z_res.append(z)
33
34  #Plotting the X,Y 1D Gauss Distribution
35  num_bins = 50
36  plt.hist(x_res, num_bins, normed=1, facecolor='green', alpha=0.5)
37  plt.hist(y_res, num_bins, normed=1, facecolor='red', alpha=0.5)
38  plt.title('Histogram')
39  plt.show()
40
41  #Plotting the 2D Gauss Distribution
42  fig = plt.figure()
43  ax = Axes3D(fig, rect=[0, 0, 1, 1], elev=30, azim=20)
44  ax.scatter(x_res, y_res, z_res,marker='o')
45  plt.show()

```

参考文献

- [1] G. E. P. Box and Mervin E. Muller, A Note on the Generation of Random Normal Deviates, *The Annals of Mathematical Statistics* (1958), Vol. 29, No. 2 pp. 610–611 doi:10.1214/aoms/1177706645, JSTOR 2237361.
- [2] Sheldon Ross, *A First Course in Probability*, (2002), pp. 279–281.
- [3] J. Bell: 'Algorithm 334: Normal random deviates', *Communications of the ACM*, vol. 11, No. 7. 1968.
- [4] R. Knopp: 'Remark on algorithm 334 [G5]: normal random deviates', *Communications of the ACM*, vol. 12, No. 5. 1969.
- [5] Everett F. Carter, Jr., *The Generation and Application of Random Numbers*, *Forth Dimensions* (1994), Vol. 16, No. 1 & 2.
- [6] Note that the evaluation of $2\pi U_1$ is counted as one multiplication because the value of 2π can be computed in advance and used repeatedly.
- [7] Link, William A.; Eaton, Mitchell J. (2012-02-01). "On thinning of chains in MCMC". *Methods in Ecology and Evolution*. 3 (1): 112–115. doi:10.1111/j.2041-210X.2011.00131.x. ISSN 2041-210X.
- [8] Geman, S.; Geman, D. (1984). "Stochastic Relaxation, Gibbs Distributions, and the Bayesian Restoration of Images". *IEEE Transactions on Pattern Analysis and Machine Intelligence*. 6 (6): 721–741. doi:10.1109/TPAMI.1984.4767596.
- [9] Gilks, W. R.; Best, N. G.; Tan, K. K. C. (1995-01-01). "Adaptive Rejection Metropolis Sampling within Gibbs Sampling". *Journal of the Royal Statistical Society. Series C (Applied Statistics)*. 44 (4): 455–472. JSTOR 2986138.
- [10] Meyer, Renate; Cai, Bo; Perron, François (2008-03-15). "Adaptive rejection Metropolis sampling using Lagrange interpolation polynomials of degree 2". *Computational Statistics & Data Analysis*. 52 (7): 3408–3423. doi:10.1016/j.csda.2008.01.005.
- [11] Martino, L.; Read, J.; Luengo, D. (2015-06-01). "Independent Doubly Adaptive Rejection Metropolis Sampling Within Gibbs Sampling". *IEEE Transactions on Signal Processing*. 63 (12): 3123–3138. doi:10.1109/TSP.2015.2420537. ISSN 1053-587X.